

수정된 King-post mechanism을 이용한 교량 구조물의 최적능동제어

Optimal Active Control of Bridges using Modified King-post Mechanism

김 준영* 정 길호** 이 인원***
Kim, Joon-Hyoung Jung, Gil-Ho Lee, In-Won

ABSTRACT

This paper develops a new control system to reduce the vibration of bridges using King-post mechanism. The optimal active control theory is used in the control system. The positions of post and roller in the King-post mechanism are important factors, since the vibration of bridges is very sensitive to their variations. To demonstrate the efficiency of the proposed control mechanism, a simply supported beam under moving load is considered.

1. 서론

근래에 구조해석기술의 발달과 고강도 및 경량 구조재료의 개발에 힘입어 고층빌딩과 장대교량 등의 대형구조물의 건설이 늘어나고 있다. 그러나 구조물이 대형화되고 전체 형상이 길어짐에 따라 구조물은 더 유연해지고 따라서 구조물의 기본 진동수는 작아지게 되어 태풍, 지진, 파랑 등 동적하중에 의한 진동 현상으로 인한 구조물의 안전 문제가 새로이 부각되고 있다. 또 구조물의 안전 뿐만 아니라 사용성(serviceability)이라는 측면에서도 구조물의 대형화는 여러가지 불리한 점을 가진다.

이럴듯 상재하지 않고 예측할 수 없는 동적하중에 대하여 구조물을 설계하는 것은 비효율적이고 비경제적이다. 이러한 문제를 해결하기 위해 최근 각광받고 있는 것이 구조물의 진동제어(vibrational control)이다.

* KAIST 토목공학과 석사과정
** KAIST 기계공학과 박사과정
*** KAIST 토목공학과 교수

기계적, 구조적 system의 안전성과 보존성을 향상시키는 가능한 방법으로 최근 구조적 능동제어에 적지 않은 관심이 생겨났다. 구조물의 능동제어란 구조물에 가해지는 동적 하중과 이로 인한 구조물의 response를 측정하여 구조물의 안전과 사용성을 위하여 구조물의 거동이 줄어들도록 인위적인 힘을 가함으로써, 다양한 종류의 하중조건에서도 효율적으로 구조물의 거동을 제어하도록 하는 방식이다.

이렇게 구조물을 control하는 방식은 전자공학이나 기계공학 등에서 많이 발전되어 온 control algorithm을 구조적인 mechanism에 적용하자는 것이다. 이전에는 건물에 actuator와 tendon을 이용하여 control하는 것이 실제 구조물에 적용된 사례도 있다.

본 논문에서 다루고자 하는 control mechanism인 King-post mechanism도 앞의 사례와 마찬가지로 actuator와 tendon을 이용하지만 이 system을 건물이 아닌 교량에 적용하자는 것이다. 그리고 더욱 효과적이고 경제적이며 실제로 구현 가능한 system, 즉 Modified King-post mechanism을 고안하여 적용하였다.

2장에서는 이 control mechanism에 적용하는 control algorithm에 대하여 설명하였고, 3장에서는 King-post mechanism의 모양과 수학적인 modelling, 4장에서는 Modified King-post mechanism의 모양과 수학적인 modelling을 살펴본다. 5장에서는 수치해석을 수행하였다.

2. Classical Linear Optimal Control

control theory 중에서 가장 기본이 되고 기초적인 algorithm인 classical linear optimal control theory에 대하여 살펴보고, 그 이론을 continuous system에 응용할 수 있도록 modal domain에 적용하였다.

2.1. 이론적 배경

구조물을 이상화시켜 모델링하여 n 개의 자유도를 가지도록 했다면 그 수학적인 표현은 식(1)과 같다.

$$M\ddot{x}(t) + C\dot{x}(t) + Kx(t) = Du(t) + Ef(t) \quad (1)$$

여기서 $x(t)$ 는 n -차원의 변위 벡터이고, $f(t)$ 는 작용하는 하중이나 외력을 나타내는 r -차원의 하중 벡터이다. 또 M , C , K 는 각각 $(n \times n)$ 인 질량, 감쇠, 강성 행렬이고, D 는 제어력의 위치를 정의하는 $(n \times m)$ 인 위치 행렬, E 는 외력의 위치를 정의하는 $(n \times r)$ 인 위치 행렬이다. 상태 변수(state variable)를 도입하여 식(1)을 변환하면 식(2)와 같은 상태방정식(state-space equation)이 된다.

$$\dot{z}(t) = Az(t) + Bu(t) + Hf(t), \quad z(0) = z_0 \quad (2)$$

여기서 $z(t) = \begin{bmatrix} x(t) \\ \dot{x}(t) \end{bmatrix}$ 는 $2n$ -차원의 상태 벡터, $A = \begin{bmatrix} 0 & I \\ -M^{-1}K & -M^{-1}C \end{bmatrix}$ 는 $(2n \times 2n)$ 인 시스템 행렬, $B = \begin{bmatrix} 0 \\ M^{-1}D \end{bmatrix}$ 는 $(2n \times m)$ 인 제어력의 위치 행렬, $H = \begin{bmatrix} 0 \\ M^{-1}E \end{bmatrix}$ 는 $(2n \times r)$ 인 외력의 위치 행렬이다.

고전적 선형 최적 제어 이론에서 제어벡터 $u(t)$ 는 식(2)에 따라서 성능지수 또는 가격 함수라 정의된 식(3)을 최소화 시키는 값으로 선택한다.

$$J = J_1[z(t_0), z(t_f), t_0, t_f] + \int_0^f J_2(z, \dot{z}, u, \dot{u}, t) dt \quad (3)$$

위의 식(3)에서 첫번째 항 J_1 은 초기값과 마지막값으로 정의 되고, J_2 는 그 중간 과정의 값으로 정의된다. 그래서 식(3)을 최소화되도록 하면 초기치와 그 중간과정 뿐만 아니라 마지막 값도 최소화 되도록 제어 벡터를 결정할 수 있다.

식(3)에서 $t_0 = 0$ 라 하고 t_f 를 외력이 작용하는 시간보다 훨씬 길게 잡으면 식(3)의 첫 번째 항인 J_1 은 0(zero)가 된다. 그리고 J_2 는 상태변수와 제어벡터의 2차식(quadratic)으로 정의하면 식(4)와 같아진다.

$$J = \int_0^f [z^T(t)Qz(t) + u^T(t)Ru(t)] dt \quad (4)$$

여기서 Q 는 $(2n \times 2n)$ 의 positive semi-definite, R 는 $(m \times m)$ 의 positive definite 인 weighting matrices 이다. Q , R 행렬 속의 각각의 요소는 제어하는 목적에 따라 그 크기를 선택한다. Q 행렬의 요소에 큰 값을 할당하면 response는 많이 줄일 수 있으나 제어력을 많이 쓰는 노력을 해야 하고, 반대로 R 행렬의 요소에 큰 값을 할당하면 제어력을 작게 잡을 수 있으므로 경제성을 고려하여 적절한 값을 할당해야 한다.

이제 식(4)와 같이 정의된 최적제어 문제를 풀기 위하여 Lagrange multiplier $\lambda(t)$ 를 사용하여 식(5)와 같이 Lagrangian L 를 정의한다.

$$L = \int_0^f \{z^T(t)Qz(t) + u^T(t)Ru(t) + \lambda^T(t)[Az(t) + Bu(t) + Hf(t) - \dot{z}(t)]\} dt \quad (5)$$

식(5)와 같이 정의된 Lagrangian 을 상태변수와 제어벡터에 대하여 1 차의 variation 을 취하면 식(6)과 같이 된다.

$$\delta L = -\lambda^T(t_f)\delta z(t_f) + \lambda^T(0)\delta z(0) + \int_0^f \left[\left(\dot{\lambda}^T \delta z + \frac{\partial H}{\partial z} \delta z + \frac{\partial H}{\partial u} \delta u \right) \right] dt \quad (6)$$

여기서 $H = z^T(t)Qz(t) + u^T(t)Ru(t) + \lambda^T(t)[Az(t) + Bu(t) + Hf(t) - \dot{z}(t)]$ 는 식(5)의 integrand로 정의된 Hamiltonian 이다.

최적제어에서 필요한 조건식을 구하기 위하여 식(6)과 같이 구해진 variation 을 0(zero)로 놓으면 다음과 같이 식(7), 식(8) 그리고 경계조건식인 식(9)를 얻을 수 있다.

$$\frac{\partial H}{\partial u} = 0, \quad 0 \leq t \leq t_f \quad (7)$$

$$\dot{\lambda}^T + \frac{\partial H}{\partial z} = 0 \quad (8)$$

$$\lambda^T(t_f) = 0 \quad (9)$$

이렇게 구해진 식(7), 식(8), 식(9)는 최적제어를 위한 필요조건이다. 이 식들을 정리하면 다음과 같이 된다.

$$\lambda^T = -A^T \lambda - 2Qz, \quad \lambda(t_f) = 0 \quad (10)$$

$$u = -\frac{1}{2} R^{-1} B^T \lambda \quad (11)$$

그래서 식(2), 식(10), 식(11)로 부터 최적해인 $z(t)$, $u(t)$, $\lambda(t)$ 를 구한다. 이러한 방정식은 $t=0$ 일 때의 $z(t)$ 값과 $t=t_f$ 일 때의 $\lambda(t)$ 값이 정의되어 있으므로 a two-point boundary value problem 이라 부른다.

이때 이 control system 을 closed-loop control 이라 하면 제어벡터를 상태벡터로 부터 구한다고 가정하게 되고, 식(12)와 같이 놓을 수 있다.

$$\lambda(t) = P(t)z(t) \quad (12)$$

여기서 미지의 행렬 $P(t)$ 를 Riccati matrix 라 부르는데, 이 $P(t)$ 를 결정하기 위해 외력 $f(t)$ 를 0, $P(t)$ 를 시간에 대하여 변하지 않는 행렬 P 라고 가정하고 식(12)에 식(2), 식(10), 식(11)를 대입하면 식(13)과 같은 Riccati equation 을 구해낼 수 있다.

$$PA - \frac{1}{2} PBR^{-1}B^T P + A^T P + 2Q = 0 \quad (13)$$

식(13)을 풀어서 행렬 P 를 구하여 식(12)를 식(11)에 대입하여 선형최적제어법칙 (linear optimal control law)라 부르는 식(14)를 구한다.

$$u(t) = Gz(t) = -\frac{1}{2} R^{-1} B^T P z(t) \quad (14)$$

여기서 $G = -\frac{1}{2} R^{-1} B^T P$ 는 control gain matrix 이다.

식(14)를 식(2)에 대입하면 식(15)를 구한다.

$$\dot{z}(t) = (A + BG)z(t) + Hf(t), \quad z(0) = z_0 \quad (15)$$

식(15)를 simulation 하면 모든 response 를 구해낼 수 있다.

2.2. Independent Modal-Space Control

앞 절에서 살펴본 linear optimal control theory 를 continuous system 에 적용해 보자.

먼저 continuous system 을 수학적으로 modelling 하면 식(16)과 같이 표현된다.

$$\ddot{w}(x,t) + M_1(x,D)\dot{w}(x,t) + M_2(x,D)w(x,t) = f(x,t) + q(x,t) \quad (16)$$

여기서 $w(x,t)$ 는 어떤 시각 t 일 때 x 점에서의 displacement, $f(x,t)$ 는 외력, $q(x,t)$ 는 제어력을 나타내고, $M_i(x,D)$ 는 differential operator 로 구조물의 물성치와 geometry 에 따라 달라진다. 또 $D = \frac{\partial}{\partial x}$ 를 나타낸다.

operator M_1 과 M_2 의 k 번째 eigenfunction 을 $w_k(x)$ 라 하면 이 eigenfunction $w_k(x)$ 는 orthogonal function 이므로 displacement $w(x,t)$, 외력 $f(x,t)$, 제어력 $q(x,t)$ 는 다음 식들로 표현된다.

$$w(x,t) = \sum_{k=1}^{\infty} w_k(x)z_k(t) \quad (17)$$

$$f(x,t) = \sum_{k=1}^{\infty} w_k(x)F_k(t) \quad (18)$$

$$q(x, t) = \sum_{i=1}^p q_i(t) \delta(x - x_i) = \sum_{k=1}^{\infty} \left\{ \sum_{i=1}^p w_k(x_i) q_i(t) \right\} w_k(x) = \sum_{k=1}^{\infty} w_k(x) Q_k(t) \quad (19)$$

여기서 $z_k(t)$, $F_k(t)$, $Q_k(t)$ 는 temporal part로서 각 eigenfunction의 계수가 된다. 또 p 는 actuator의 갯수이다.

그리고 각각의 differential operator $M_i(x, D)$ 에 대하여 eigenvalue problem을 풀어서 eigenvalue를 구하면 식(20)과 같다.

$$M_1(x, D)w_k(x) = \lambda_k w_k(x), \quad M_2(x, D)w_k(x) = v_k w_k(x) \quad (20)$$

식(17) - 식(20)을 이용하여 각 mode에 대하여 식(16)을 정리하면 식(21)과 같이 표현된다.

$$\ddot{z}_k + \lambda_k \dot{z}_k + v_k z_k = F_k + Q_k \quad \text{for } k \text{ th-mode} \quad (21)$$

식(21)은 앞 절에서와 마찬가지로 state-space form으로 표현하면 각 mode에 대하여 식(22)와 같이 나타내어 진다.

$$\dot{\eta}_k(t) = A_k \eta_k(t) + Bu(t) + Hf_k(t) \quad (22)$$

그리고 또 다시 앞 절에서와 마찬가지로 performance index를 정의하면 식(23)과 같다.

$$J_k = \int_0^T [\eta_k^T(t)Q_k\eta_k(t) + u^T(t)Ru(t)] dt \quad (23)$$

식(23)으로 주어진 cost function을 최소화하도록 각 mode에 대하여 Riccati equation을 풀어 gain matrix를 구성한다. 이렇게 구성된 gain matrix를 이용하여 각 mode에 대한 temporal part를 줄이도록 control 한다.

3. King-post mechanism

이전까지 발전되어온 mechanism인 King-post mechanism은 아래의 그림.1과 같다.

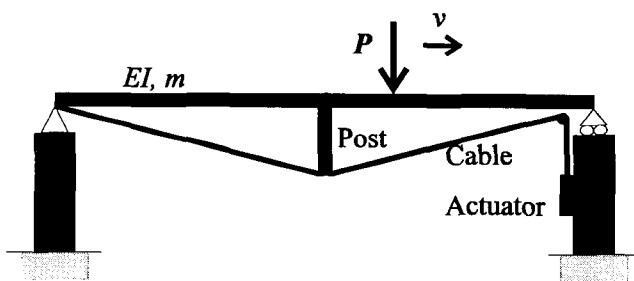


Figure.1 King-post Mechanism

이 system의 수학적인 modelling은 아래의 식(24)와 같이 표현된다.

$$\begin{aligned} \frac{\partial^2 w(x,t)}{\partial t^2} - 2\gamma \sqrt{\frac{EI}{m}} \frac{\partial^3 w(x,t)}{\partial x^2 \partial t} + \frac{EI}{m} \frac{\partial^4 w(x,t)}{\partial x^4} \\ = -\frac{P}{m} \delta(x-vt) + \frac{2k_c \cos \alpha}{m} u(t) \delta(x - L/2) \end{aligned} \quad (24)$$

여기서 2.2 절의 식(16)과 비교해 보면 $M_1 = -2\gamma \sqrt{\frac{EI}{m}} \frac{\partial^2}{\partial x^2}$, $M_2 = \frac{EI}{m} \frac{\partial^4}{\partial x^4}$ 가 되고 이

differential operator 의 eigenfunction 을 다음과 같이 식(25)로 가정한다.

$$w_k = \sin(k\pi x/L) \quad (25)$$

이렇게 되면 modal domain 상에서 각 mode 에 대한 식은 식(26)으로 표현된다.

$$\ddot{z}_k + 2\gamma \sqrt{\frac{EI}{m}} \left(\frac{k\pi}{L}\right)^2 \dot{z}_k + \frac{EI}{m} \left(\frac{k\pi}{L}\right)^4 z_k = -\frac{2P}{mL} \sin\left(\frac{k\pi}{L} vt\right) + \frac{4k_c \cos \alpha}{mL} u(t) \quad (26)$$

식(26)도 state-space form 으로 바꿔면 식(22)과 같다. 그래서 식(23)과 같이 performance index 를 구성하여 optimal control 하면 된다.

4. Proposed control mechanism (Modified King-post Mechanism)

3 장에서 소개되어진 King-post mechanism 을 더욱 효율적이고 경제적이며 실제 구현 가능한 system 으로 수정보완한 것이 아래 그림.2 와 같은 Modified King-post Mechanism 이다. span 의 길이가 길어지면 그림.1 과 같은 구조로 system 을 구성하기가 어렵기 때문에 이러한 점을 보완하였고, 또 post 와 roller 의 위치를 적절히 결정하면 King-post mechanism 보다 더욱 효율적이다.

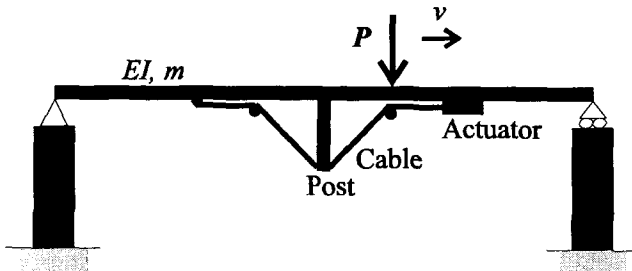


Figure 2. Modified King-post Machanism

o) system 의 수학적인 modelling 은 아래의 식(27)와 같이 표현된다.

$$\begin{aligned} \frac{\partial^2 w(x,t)}{\partial t^2} - 2\gamma \sqrt{\frac{EI}{m}} \frac{\partial^3 w(x,t)}{\partial x^2 \partial t} + \frac{EI}{m} \frac{\partial^4 w(x,t)}{\partial x^4} \\ = -\frac{P}{m} \delta(x-vt) + \frac{2k_c \cos \alpha}{m} u(t) \delta(x-\alpha L) - \delta(x-\beta L) - \delta(x-(1-\beta)L) \end{aligned} \quad (27)$$

여기서 α 는 post 의 위치를 나타내는 변수(parameter)로 αL o) post 의 위치이고, β 는

roller의 위치를 나타내는 변수이다.

앞 장과 마찬가지로 eigenfunction 을 식(25)와 같이 가정하면 식(27)의 k th mode에 대한 modal equation 은 식(28)과 같다.

$$\begin{aligned} \ddot{z}_k + 2\gamma \sqrt{\frac{EI}{m}} \left(\frac{k\pi}{L}\right)^2 \dot{z}_k + \frac{EI}{m} \left(\frac{k\pi}{L}\right)^4 z_k \\ = -\frac{2P}{mL} \sin\left(\frac{k\pi}{L}vt\right) + \frac{4k_c \cos\alpha}{mL} u(t) \{ \sin(k\pi\alpha) - \sin(k\pi\beta) - \sin(k\pi(1-\beta)) \} \end{aligned} \quad (28)$$

식(28)도 state-space form 으로 바뀌면 식(22)과 같아 되고 식(23)과 같아 performance index 를 구성하여 optimal control 하면 된다.

5. 수치 해석

앞 장에서 제안된 system 의 효율성을 검증하기 위해 simply supported single span bridge 에 대하여 Matlab 상에서 수치해석을 수행하였다.

i) 예제에서 사용된 물성치를 살펴보면 밀도는 $\rho = 7851 \text{ kg/m}^3$, 탄성계수는 $E = 2.04 \times 10^9 \text{ Pa}$, 감쇠계수는 $\gamma = 1.24\%$ 이다. 구조물의 크기를 살펴보면 길이는 $L = 19.9 \text{ m}$, 단면적은 $A = 0.0442 \text{ m}^2$, 관성 moment 는 $I = 25.063 \times 10^{-3} \text{ m}^4$ 이고 tendon의 강성은 $k_c = 372 \text{ kPa}$ 이다. 또 사용된 하중은 이동하중으로 크기는 $P = 1000 \text{ N}$, 속도는 $v = 120 \text{ km/h} = 33.333 \text{ m/s}$ 이다.

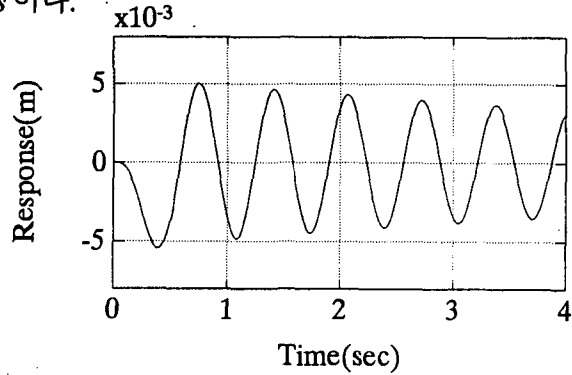


Figure.3 Uncontrolled Resopnse

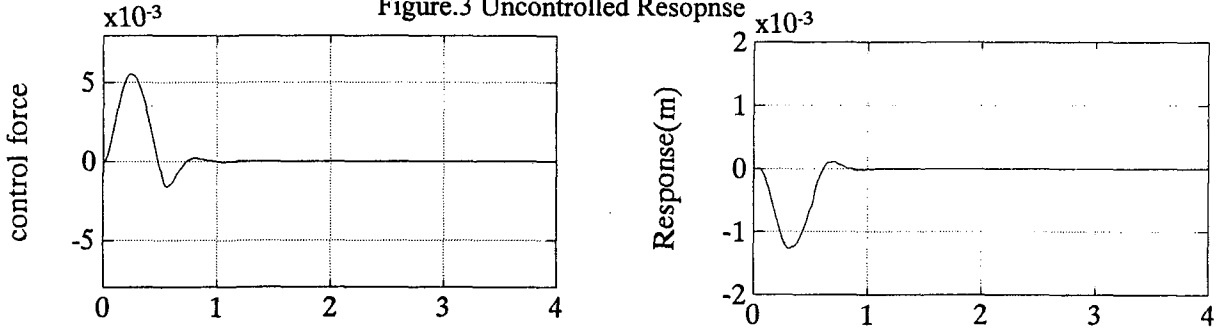


Figure.4 Controlled Response (King-post system)

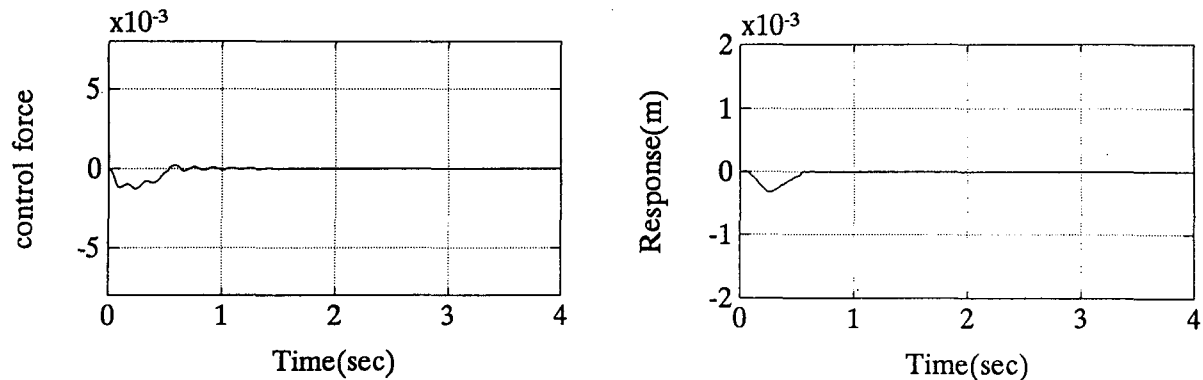


Figure.5 Controlled Response (Modified King-post system)

6. 결론

본 논문에서는 진동제어를 위한 새로운 system을 제안하였다. 수치해석에서도 알 수 있듯이 아주 효과적이다. 또 King-post system보다 크기가 작기 때문에 실제로 구현하기에도 용이하다.

7. 참고 문헌

1. T. Soong, 1990, **Active Structural Control : Theory and Practice**, Longman Scientific & Technical
2. Meirovitch, 1990, **Dynamic and Control of Structures**, John Wiley & Sons, Inc.
3. J. Z. Cha, J. M. Pitarresi and T. T. Soong, 1987, **Optimal Design Procedures for Active Structures**, *Journal of Structural Engineering*, 114(12), 2710-2723
4. S. Esfandiari, I. S. Sadek, and J. M. Sloss, 1993, **Optimal Open-Closed Loop Control of Mechanical Systems with Structural Damping**, *Journal of Sound and Vibration*, 163(1), 47-56
5. Abdel-Mooty and J. Roorda, **Optimal Configuration of Active-Control Mechanism**, *Journal of Engineering Mechanics*, 120(3), 535-555
6. 김 상범, 1993, 대형 구조물의 최적 진동 제어, 한국과학기술원 석사학위논문